

بررسی قابلیت رقابت سویا در شرایط تداخل با تراکم‌های مختلف کنجد شیطانی (*Cleome viscosa L.*): علف هرز مهاجم در استان گلستان

دورسن امامی کنگر^۱- آسیه سیاهمرگوبی^{۲*}- بهنام کامکار^۳- محبوبه بصیری^۴

تاریخ دریافت: ۱۳۹۶/۰۹/۱۸

تاریخ پذیرش: ۱۳۹۷/۰۶/۲۱

چکیده

به منظور بررسی قدرت رقابتی سویا (رقم دی پی ایکس) در شرایط تداخل با تراکم‌های مختلف علف‌هرز کنجد شیطانی (صفر، ۳، ۵، ۱۰، ۱۵، ۲۰، ۳۰) در شهرستان کالله به صورت طرح بلوک‌های کامل تصادفی در سه تکرار انجام شد. تتابع ۴۵ بوته در متر مربع) آزمایشی در سال زراعی ۱۳۹۴-۹۵ در شهرستان کالله به صورت طرح بلوک‌های کامل تصادفی در سه تکرار انجام شد. نشان داد مرحله اولیه رشد ارتفاع کنجد شیطانی کمتر از سویا بود؛ اما به تدریج ارتفاع آن افزایش و در انتهای فصل رشد، بیش از سویا بود. حداکثر تجمع ماده خشک سویا در رقابت با کنجد شیطانی کاهاش یافت. با توجه به مدل برازش یافته، حداکثر تجمع ماده خشک کنجد شیطانی به طور متوسط در ۸۳ روز بعد از کاشت حاصل شد؛ این در حالی بود که حداکثر تجمع ماده خشک سویا بسته به تیمار تداخلی بین ۵۳ تا ۶۰ روز تغییر نمود. با افزایش تراکم علف هرز، حداکثر تجمع ماده خشک سویا در زمان کوتاه‌تری حاصل شد. حداکثر شاخص سطح برگ سویا در شرایط عدم تداخل ۶۳ روز بعد از کاشت حاصل شد. اما حداکثر شاخص سطح برگ کنجد شیطانی بـ ۰/۹۶ بود که در ۵۳ روز بعد از کاشت حاصل شد. درصد شاخص سطح برگ سویا و کنجد شیطانی به ترتیب در لایه‌های ۲۰ و ۴۰-۲۰ سانتی متر متصرف بود که نشان دهنده موفق‌تر بودن کنجد شیطانی در دریافت نور است. مقدار کاهاش عملکرد دانه و بیولوژیک سویا در شرایط ورود اولین بوته علف هرز به ترتیب ۸/۳۹ و ۷/۹۴ درصد تعیین شد و با افزایش تراکم این علف هرز، عملکرد دانه و بیولوژیک سویا به ترتیب به میزان ۴۲/۶۰ و ۵۲/۵۴ درصد کاهاش یافت.

واژه‌های کلیدی: توزیع سطح برگ، خصوصیات مورفولوژیکی، رقابت، کاهاش عملکرد دانه، مدل کوزنس

می‌توان جهت تعیین قابلیت رقابت گونه‌ها در شرایط تداخل بهره جست (۱۲ و ۱۳). نتایج مطالعه اثرات تداخلی تراکم‌های مختلف تاج‌خرروس (*Amaranthus retroflexus*) بر آنالیزهای رشد سویا حاکی از کاهاش معنی‌دار عملکرد ماده خشک و شاخص سطح برگ سویا بود (۱۸). حسینی و همکاران (۶) گزارش کردند که با افزایش تراکم علف هرز تاج‌خرروس عملکرد ارقام پابلند (کلارک) و پاکوتاه سویا (انترپرایز) کاهاش یافت؛ ولی نسبت کاهاش در رقم پاکوتاه (انترپرایز) بیشتر بود. نایبردگان علت این تفاوت را به بیشتر بودن ارتفاع، سطح برگ، وزن خشک و طولانی‌تر بودن دوره رشد رقم کلارک (پابلند) نسبت دادند. یدوی و همکاران (۲۰) با بررسی اثر تراکم‌های مختلف تاج‌خرروس بر ذرت دریافتند که ۹۹ روز پس از سبز شدن گیاه زراعی، حضور علف هرز در تراکم‌های ۸ و ۱۲ بوته در متر مربع به ترتیب ۲۳، ۲۳ و ۴۰ درصد کاهاش وزن خشک ذرت را در پی داشت. رضوانی و همکاران (۱۱) در آزمایش خود به این نتیجه رسیدند که با افزایش تراکم خردل وحشی (*Sinapis arvensis*) از ۴ به ۳۲ بوته در متر مربع، زیست‌توهده خردل وحشی افزایش یافت و همچنین در این مطالعه مشاهده شد که عملکرد دانه بیشتر از عملکرد

مقدمه

یکی از عوامل کاهاش عملکرد محصولات کشاورزی، علف‌های هرز هستند که به دلیل بوم سازگار بودن و دیگر ویژگی‌های خاص خود به شدت با گیاه زراعی رقابت کرده و عملکرد محصول را کاهاش می‌دهند (۲۱). تراکم یکی از مهمترین عوامل مؤثر بر رقابت علف‌های هرز با گیاهان زراعی می‌باشد (۱). در واقع با تغییر تراکم، منابع موجود بین گونه‌های رقیب تقسیم شده و منجر به بروز و پاسخ‌های مختلف در رشد می‌گردد (۲۱). بررسی‌های متعدد نشان داده که از پارامترهای آنالیز رشد شامل تغییرات ماده خشک تجمعی و ویژگی‌های ساختار تاج‌بوشش، مانند ارتفاع، شاخص سطح برگ و دوام سطح برگ

۱، ۲ و ۳- به ترتیب دانشجوی سابق کارشناسی ارشد علوم علف‌های هرز، استادیار و استاد، گروه زراعت، دانشکده تولید گیاهی، دانشگاه علوم کشاورزی و منابع طبیعی گرگان، گرگان، ایران
(*)- نویسنده مسئول: (Emai: Siahmarguee@gau.ac.ir)
۴- دانش آموخته دکترا زراعت، دانشگاه زابل
DOI: 10.22067/jpp.v32i4.68919

اندام‌های هوایی و اندام‌های زیرزمینی شود در نتیجه باعث اثر گذاری منفی در گیاه زراعی شود (۸). تاکنون تحقیقی در زمینه میزان خسارت‌زایی این علف هرز در منطقه انجام نشده است، ازاین‌رو این تحقیق با هدف بررسی خصوصیات مرتبط با ساختار کانوپی سویا (رقم دی‌پی‌ایکس) و علف هرز کنجد شیطانی و همچنین توانایی رقابت سویا در شرایط تداخل با تراکم‌های مختلف این علف هرز انجام شده است.

مواد و روش‌ها

این تحقیق در سال زراعی ۱۳۹۴-۹۵ در شهرستان کالله واقع در استان گلستان با طول جغرافیایی ۵۵ درجه و ۲۹ دقیقه‌ی شرقی و عرض جغرافیایی ۳۷ درجه و ۲۲ دقیقه‌ی شمالی با ارتفاع ۱۹۴ متر از سطح دریا و بارندگی سالانه $594/3$ میلی‌متر انجام شد. آزمایش به صورت طرح بلوک‌های کامل تصادفی در سه تکرار انجام شد. تیمار مورد بررسی تراکم‌های مختلف علف هرز کنجد شیطانی در سطوح صفر، ۳ ، ۵ ، ۱۰ ، ۱۵ ، ۲۰ ، ۳۰ و ۴۵ بوته در متر مربع بود. خاک مزرعه تا عمق ۳۰ سانتی‌متر دارای $۱/۳۵$ درصد ماده آلی، اسیدیته $7/۹$ بافت سیلی رسی لوم بود.

عملیات آماده‌سازی زمین، شامل شخم و دیسک در تیرماه سال ۱۳۹۵ انجام شد. ابعاد هر کرت آزمایشی $4 \times ۴/۵$ متر در نظر گرفته شد. کاشت سویا در تیرماه سال ۱۳۹۵ با استفاده از دستگاه ردیفار روى خطوطی با فواصل بین و روی ردیف ۵۰ و ۷ سانتی‌متر انجام شد. همزمان بذور کنجد شیطانی (که در آبان ماه ۹۴ از مزارع سویای استان گلستان جمع‌آوری شده بودند)، به صورت دست‌پاش بر روی فواصل بین ردیف و روی ردیف سویا، بر روی خاک پاشیده شدند و توسط شن کش در عمق ۲ الی ۳ سانتی‌متری خاک کشت شدند. به دلیل ریز بودن بذر کنجد شیطانی (وزن هزار دانه $1/۰۵$ گرم) و در جهت پخش یکنواخت، ابتدا بذرها با ماسه مخلوط و سپس کشت شدند. لازم به ذکر است که درصد جوانه‌زنی بذور کنجد شیطانی در زمان کاشت ۶۸ درصد بود. پس از اطمینان از سبز شدن مطلوب، عملیات تنک کنجد شیطانی در مرحله سه تا چهار برگی انجام و تراکم‌های مورد نظر اعمال شد. در طول فصل رشد، علف‌های هرز موجود در مزرعه به جز کنجد شیطانی، به طور مستمر وجود داشتند. لازم به ذکر است که این آزمایش در شرایط عدم محدودیت آب و عناصر غذایی اجرا گردید. آبیاری هر ۱۰ تا ۱۵ روز یک بار بسته به شرایط آب و هوایی (گرما و بارندگی) صورت گرفت. با توجه به نتایج تجزیه خاک و نیاز گیاه سویا، کود نیتروژن به میزان ۱۵۰ کیلوگرم در هکتار از منبع سوبر فسفات مورد استفاده قرار گرفت.

جهت نمونه‌برداری، ابتدا هر کرت به دو نیم تقسیم شد و یک قسمت به نمونه‌برداری تخریبی و قسمت دیگر به محاسبه عملکرد و

بیولوژیک تحت تأثیر رقابت قرار گرفت. سعادتیان و همکاران (۱۴) گزارش کردند که با افزایش تراکم چاودار وحشی (*Secale cereale*)، عملکرد بیولوژیک و دانه ارقام گندم کاهش یافت. همانطور که گفته شد ویژگی‌های ساختاری تاج پوشش که خود به عواملی نظیر شاخص سطح برگ، سرعت توسعه و دوام سطح برگ، توزیع فضایی و زمانی سطح برگ در عمق تاج پوشش، زاویه برگ‌ها و همچنین ویژگی‌های مورفو‌بیولوژیکی مانند ارتفاع، تعداد پنجه یا شاخه‌های جانبی و غیره بستگی دارد، تعیین کننده قابلیت رقابت گونه‌ها برای بهره‌گیری مطلوب‌تر از نور می‌باشد (۱۰). کوزنس و همکاران (۳) بیان داشتند که تداخل علف هرز با گیاه زراعی موجب رقابت در دریافت نور و کاهش نور مؤثر در فتوستنتز گیاه مغلوب شده و سایر عوامل رشد را تحت تأثیر قرار می‌دهد؛ در این میان آرایش تاج پوشش گیاه زراعی و علف هرز به ویژه ارتفاع گیاه، تعیین کننده رقابت برای نور بوده و عامل مؤثر بر عملکرد گیاه زراعی به شمار می‌رود. نتایج مطالعه صفا‌هانی و همکاران (۱۷) نشان داد که رقم زرفام به دلیل دارا بودن سطح برگ و ارتفاع بیشتر و همچنین توزیع مناسب سطح برگ در لایه‌های کانوپی در شرایط رقابت با علف هرز خردل وحشی، توانایی بالایی در جلوگیری از کاهش عملکرد خود در شرایط رقابت با خردل وحشی داشته و از طرفی بیomas و مقدار بذر علف هرز را نیز تا حد زیادی کاهش خواهد داد. سعادتیان و همکاران (۱۳) نشان دادند که ویژگی‌هایی همچون نحوه توزیع عمودی شاخص سطح برگ، ارتفاع نهایی و سرعت افزایش آن در شرایط تداخل، سبب افزایش توان رقابتی رقم الوند (گندم) در شرایط رقابت با علف هرز خردل وحشی و چاودار شد. نامردگان اظهار داشتند که علی‌رغم ارتفاع کمتر خردل وحشی نسبت به چاودار، نحوه توزیع سطح برگ و ساختار کانوپی این علف هرز باعث افزایش توانایی رقابت نوری و سایه‌اندازی بیشتر آن بر گیاه زراعی شد؛ به گونه‌ای که اثرات زیان‌ناشی از حضور تک بوته‌های این علف هرز در تراکم‌های مورد بررسی، بیشتر از چاودار وحشی بود.

یکی از چالش‌های جدید در کشاورزی تغییر فلور علف‌های هرز و ورود گیاهان جدید به منطقه است. در حال حاضر یکی از مهمترین و مشکل سازترین گیاهان مهاجم در استان گلستان به‌ویژه در مزارع سویا، کنجد شیطانی (*Cleome viscosa L.*) است. کنجد شیطانی با نام علمی (*Cleome viscosa L.*) از خانواده کور (*Capparidaceae*) می‌باشد. این گیاه یک ساله و بوته‌ای بوده و ارتفاع آن به $۱/۵$ متر نیز می‌رسد. برگ‌های آن به صورت مرکب، سه برگچه‌ای بوده و در سطح پایین و بالای آنها، موهای چسبنده و غده‌ای وجود دارد. این گیاه خاصیت دارویی فراوانی داشته و عصاره آن به عنوان چاشنی غذا مورد استفاده قرار می‌گیرد (۱۹). این گیاه با داشتن خاصیت آللپاتیک و ایجاد مکانیسم‌های مختلف درون ساختار گیاهان زراعی که در تداخل با این علف هرز هستند، می‌تواند باعث کاهش رشد گیاه‌چه‌ها،

در این رابطه، Y: درصد کاهش عملکرد بیولوژیک یا دانه گیاه زراعی؛ X: تراکم علف هرز بر حسب بوته در متر مربع؛ I: کاهش عملکرد بیولوژیک یا دانه سویا به ازای ورود تک بوته علف هرز کنجد شیطانی و A: حداقل کاهش عملکرد بیولوژیک یا دانه سویا در تراکم‌های بالای علف هرز است.

محاسبات آماری و تجزیه واریانس با استفاده از نرمافزار SAS و برآنش مدل‌ها و محاسبه ضرایب مربوط با استفاده از نرمافزار Sigmaplat نسخه ۱۲/۵ انجام شد.

نتایج و بحث

تغییرات ارتفاع سویا (رقم دی پی ایکس) در طی فصل زراعی در شرایط تداخل با تراکم‌های مختلف علف هرز کنجد شیطانی روند سیگموئیدی نشان داد (شکل ۱). در همه تیمارهای آزمایشی، ارتفاع سویا در مراحل اول نمونه‌برداری کم بود، اما به تدریج در طی زمان افزایش یافت، به طوری که در تیمار بدون علف هرز حداقل ارتفاع به ۱۰۶ سانتی‌متر رسید. این در حالی بود حداقل ارتفاع سویا در تیمار تداخل با بوته در متر مربع کنجد شیطانی، به میزان جزئی کاهش و به ۱۰۲ سانتی‌متر رسید (جدول ۱).

رونده رائمه شده در شکل ۱ نشان می‌دهد که شب افزایش ارتفاع کنجد شیطانی در مراحل اولیه رشد بسیار کمتر از سویا بود. افزایش ارتفاع کنجد شیطانی در همه تیمارها قبل از ۶۰ روز بعد از کشت بسیار کندر از سویا (چه در تیمار تداخل و چه در تیمار عاری از علف هرز) بود. اما با گذشت زمان ارتفاع و شب افزایش ارتفاع کنجد شیطانی افزایش یافت، به طوری که به خصوص در تیمارهای تداخل با تراکم‌های بالا، ارتفاع این علف هرز به میزان قابل توجهی افزایش یافت. با توجه به خروجی مدل در همه تراکم‌های تداخلی، ارتفاع این علف هرز در مقایسه با سویا تفاوت معنی‌داری داشته و از ۱۰۲ تا ۱۲۵ سانتی‌متر در نوسان بود (جدول ۱). در اکثر گونه‌های زراعی، رابطه مستقیم و مثبتی بین ارتفاع گیاه و قدرت رقابتی آن وجود دارد (۱). سعادتیان و همکاران (۱۳) با بررسی تغییرات ارتفاع ارقام مختلف گندم در شرایط تداخل با تراکم‌های مختلف خردل‌وحشی و چاودار گزارش کردند که ارتفاع چاودار به دلیل اختلاف زیاد با ارتفاع ارقام مختلف گندم و عدم نیاز به افزایش آن برای جذب نور تغییر نکرد. اما ارتفاع خردل‌وحشی تحت تأثیر گندم قرار گرفت و افزایش قابل توجهی یافت.

اجزای عملکرد اختصاص یافت. نمونه‌برداری تخریبی، ۲۵ روز پس از کاشت، در ۸ مرحله (۲۷، ۳۴، ۴۰، ۴۶، ۵۲، ۶۴، ۷۷ و ۹۰ روز پس از کاشت) و با درنظر گرفتن اثر حاشیه‌ای صورت گرفت. در هر مرحله نمونه‌برداری نمونه‌ها برای اندازه‌گیری سطح برگ و ارتفاع و وزن خشک به آزمایشگاه انتقال داده شدند.

برای تعیین توزیع برگ در تاج پوشش سویا و علف هرز در مرحله گله‌ی پس از بسته شدن تاج پوشش، بعد از برداشت بوته‌های سویا و کنجد شیطانی، ابتدا ارتفاع بوته‌ها به فواصل ۲۰ سانتی‌متری تقسیم و سطح برگ و وزن خشک هر قطعه به طور جداگانه اندازه‌گیری شد. به منظور بررسی میزان عملکرد دانه و بیولوژیک سویا و کنجد شیطانی در مرحله رسیدگی نهایی، عملیات برداشت از مساحتی معادل یک متر مربع انجام و جهت انجام اندازه‌گیری‌های مورد نظر به آزمایشگاه منتقل شدند.

برای برآش داده‌های مربوط به تغییرات ارتفاع، وزن خشک و سطح برگ سویا در طی زمان به ترتیب از مدل‌های سه پارامتره گامپرتر (رابطه ۱)، سیگموئیدی (رابطه ۲) و سیگموئیدی لجستیک (رابطه ۳) استفاده شد.

$$Y = H_{\max} / (1 + \exp(-(x - x_0)/b)) \quad \text{رابطه (۱)}$$

Y: ارتفاع سویا یا کنجد شیطانی (برحسب سانتی‌متر)؛ H_{\max} : بیشترین ارتفاع تخمینی آخر فصل گیا؛ x: روز پس از کاشت؛ x_0 : زمان تا رسیدن به ۵۰ درصد حداقل ارتفاع و b: ضریب معادله می‌باشد.

$$Y = (W_{\max} / (1 + (\exp(-k * (X - T_{\max})))))) \quad \text{رابطه (۲)}$$

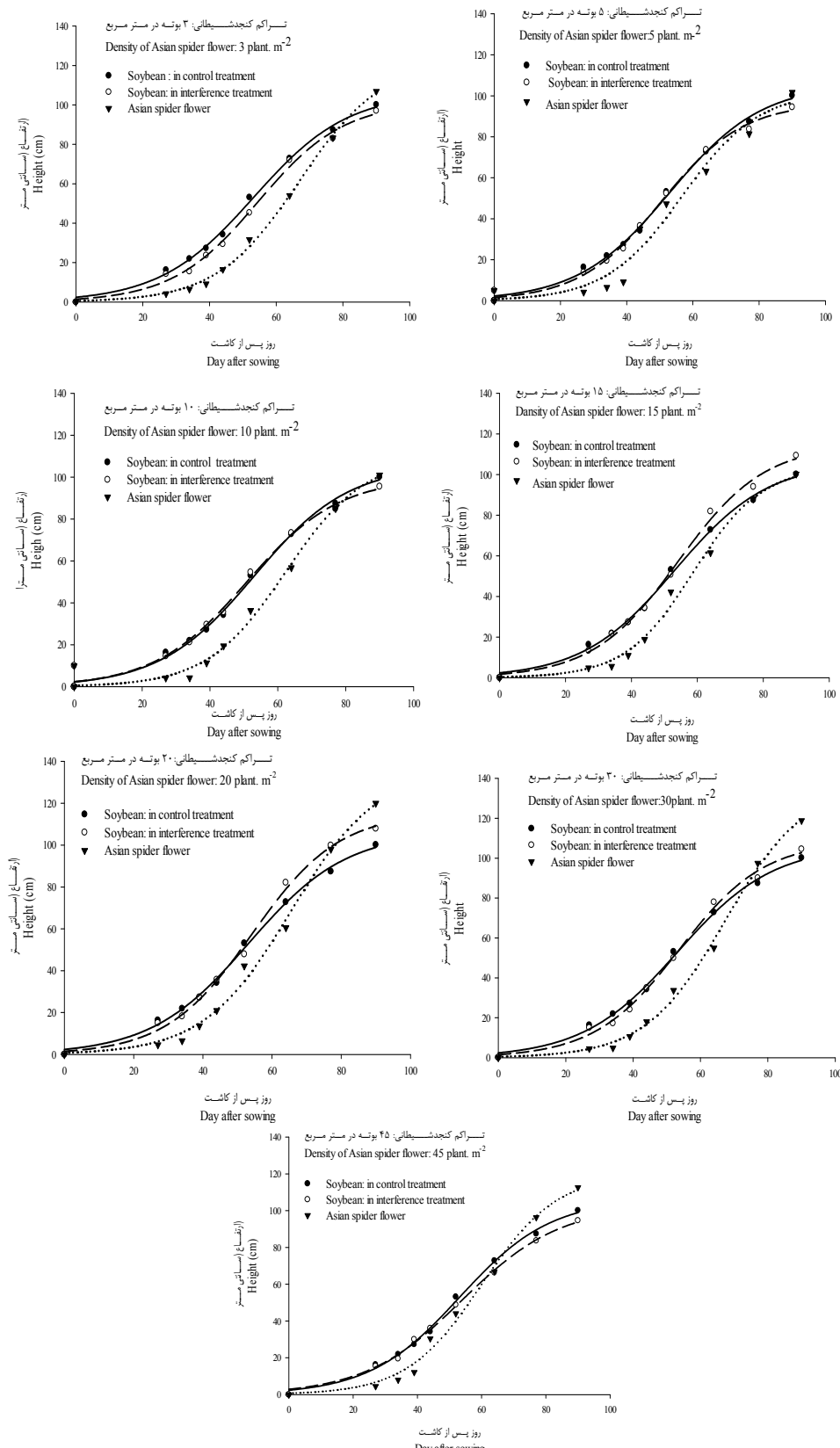
Y: وزن خشک تجمعی (برحسب گرم در متر مربع)؛ W_{\max} : بیشترین وزن خشک تجمعی تخمینی آخر فصل گیا؛ K: شب افزایش ماده خشک؛ T_{\max} : زمانی که گیاه به ۵۰ درصد حداقل تجمع ماده خشک خود می‌رسد و X: روز پس از کاشت است.

$$Y = ((a * \exp((-a) * (X - b))) * c) / ((1 + \exp((-a) * (X - b)))^2) \quad \text{رابطه (۳)}$$

Y: شخص سطح برگ؛ X: روز پس از کاشت؛ a، b و c ضرایب معادله می‌باشند.

برای برآش مدل‌ها به داده‌های به دست آمده و تخمین کاهش عملکرد بیولوژیک و دانه سویا در سطوح مختلف علف هرز کنجد شیطانی، از مدل دو پارامتری کاهش عملکرد - تراکم (۲) (رابطه ۴) استفاده شد.

$$Y = \left(\frac{I * X}{1 + \left(\frac{I * X}{A} \right)} \right) \quad \text{رابطه (۴)}$$



شکل ۱- ارتفاع سویا و کنجدشیطانی در تراکم‌های مختلف کنجدشیطانی در طی فصل رشد

Figure 1- Height of soybean and Asian spider flower in different densities of Asian spider flower during growing season

جدول ۱- ضرایب مدل برآش داده شده به ارتفاع سویا و کنجدشیطانی در شرایط تداخل

Table 1- The coefficients of the fitted model to height of soybeans and Asian spider flower in interference conditions

تراکم Density	سویا Soybean					کنجدشیطانی Asian spider flower				
	H _{max} ±SE	b±SE	X ₀ ±SE	R ²	P-value	H _{max} ±SE	b±SE	X ₀ ±SE	R ²	P-value
0	106.6±3.51	14.14±0.96	53.27±1.42	0.99	0.0001	-	-	-	-	-
3	101.61±4.23	12.87±1.12	54.55±1.71	0.99	0.0001	122.4±5.12	12.36±0.73	66.88±1.49	0.99	0.0001
5	96.67±2.74	12.37±0.86	50.42±1.16	0.99	0.0001	102.43±10.19	11.57±2.43	56.82±3.86	0.97	0.0001
10	99.79±4.92	13.59±1.51	50.77±2.09	0.99	0.0001	109.64±8.27	11.6±1.54	62.33±2.09	0.98	0.0001
15	114.81±4.16	13.04±0.99	54.26±1.46	0.99	0.0001	103.92±4.86	10.36±1.06	58.77±1.70	0.99	0.0001
20	115.46±4.09	12.59±0.59	54.31±1.43	0.99	0.0001	125.36±4.28	11.43±1.01	62.58±1.52	0.99	0.0001
30	108.6±3.91	12.64±0.99	53.74±0.006	0.99	0.0001	123.83±3.91	10.57±0.9	64.18±1.34	0.99	0.0001
45	102.69±3.62	15.24±1.01	53.92±1.56	0.99	0.0001	120.07±7.22	11.72±1.33	60.06±2.27	0.99	0.0001

H_{max}: بیشترین ارتفاع تخمینی گیاه در آخر دوره رشد، b: ضریب معادله، X₀: زمان تا رسیدن به ۵۰٪ درصد حداکثر ارتفاع

H_{max}: maximum of height in end of season, b: coefficient of equation,

m: time required for 50% maximum of height (day after planting)

همانگونه که مشاهده می‌شود، در طول فصل رشد، تجمع ماده خشک کنجد شیطانی کمتر از سویا بود و زمان رسیدن به حداکثر تجمع ماده خشک نیز طولانی تر بود. سعادتیان و همکاران (۱۳) گزارش کردند که گندم (رقم سایسون) در شرایط عدم تداخل، دارای ماده خشک تجمیعی زیادی بود، اما در شرایط تداخل، ماده خشک تجمیعی این رقم در تراکم‌های ۲۰، ۴۰، ۶۰ و ۸۰ بوته چاودار به ترتیب ۱۲/۵، ۲۲/۷، ۲۶/۱ و ۲۷/۷ درصد نسبت به شاهد کاهش یافت.

نتایج مطالعه فروغی و همکاران (۴) نیز نشان داد، که با افزایش تراکم توق (Xanthium strumarium L.) مدت زمانی که کنجد به ۵۰٪ درصد حداکثر مقدار ماده خشک خود می‌رسد، کاهش می‌یابد. در این تحقیق شاخص سطح برگ سویا و کنجد شیطانی در طی فصل رشد روندی سیگموئیدی داشت (اشکال ۳ و ۴). حداکثر شاخص سطح برگ سویا در شرایط عدم تداخل با کنجد شیطانی ۰/۱ بود که در ۶۳ روز بعد از کاشت حاصل شد. در شرایط تداخل با ۴۵ بوته علف هرز، شاخص سطح برگ سویا کاهش و به ۰/۷ رسید. در ضمن این هرز، شاخص سطح برگ، در ۵۷ روز بعد از کاشت حاصل گردید (جدول ۳). بنابراین در شرایط تداخل با علف هرز علاوه بر کاهش شاخص سطح برگ، زمان رسیدن به حداکثر شاخص سطح برگ نیز کاهش یافته است. در تایید این امر فروغی و همکاران (۴) نیز دریافتند که با افزایش تراکم علف هرز توق زمان تا رسیدن به ۵۰٪ درصد حداکثر شاخص سطح برگ کنجد کاهش یافت. به نظر می‌رسد این امر نوعی مکانیزم در کاهش اثرات منفی ناشی از تراکم‌های بالای علف هرز در سویا باشد. در این شرایط گیاه زراعی نسبت به توسعه سریع تر سایه انداز خود برای استفاده مناسب از عوامل محیطی

تولید ماده خشک هر گونه گیاهی نسبت سهم آن گونه از منابع مشترک با گونه‌های دیگر جامعه گیاهی را بیان می‌کند که طی رقابت کسب می‌شود (۷). در این تحقیق ماده خشک تجمیعی سویا و کنجد شیطانی در طی فصل رشد روندی سیگموئیدی داشت (شکل ۲). حداکثر وزن خشک تجمیعی تخمینی آخر فصل سویا در تیمار عاری از علف هرز، ۸۷۰ گرم در متر مربع بود. با ورود علف هرز کنجدشیطانی به جامعه گیاهی، ماده خشک تجمیعی سویا، تحت تأثیر تیمارهای مختلف علف هرز کنجدشیطانی قرار گرفت و با افزایش تراکم این علف هرز، روند کاهشی نشان داد (جدول ۲).

همچنین شاخص (T_{max}) که نشان‌دهنده زمان رسیدن به ۵۰٪ درصد حداکثر تجمع ماده خشک است، نشان داد که با افزایش تراکم علف هرز در سویا، مقدار این شاخص در گیاه سویا کاهش یافت. بر این اساس ۵۰٪ درصد حداکثر تجمع ماده خشک سویا در شرایط عاری از علف هرز ۵۸ روز بعد از کاشت بدست آمد، اما در شرایط تداخل با تراکم ۴۵ بوته در متر مربع (حداکثر تراکم مورد مطالعه) به ۵۵ روز کاهش یافت (جدول ۲). به نظر می‌رسد در شرایط عدم تداخل و یا تداخل با تراکم‌های کمتر علف هرز، به علت عدم وجود رقابت، دوام سطح برگ، طول دوره رشد گیاه افزایش می‌یابد و به تبع آن، وقوع حداکثر سرعت رشد و در نتیجه تجمع ماده خشک در زمان دیرتری اتفاق می‌افتد.

این در حالی بود که ۵۰٪ درصد حداکثر تجمع ماده خشک کنجدشیطانی در تراکم ۳ بوته در متر مربع کنجدشیطانی در ۹۳ روز بعد از کاشت حاصل شد و با افزایش تراکم به ۴۵ بوته در متر مربع، تجمع ماده خشک در ۷۴ روز بعد از کاشت به دست آمد (جدول ۲).

از تراکم‌های بالای علف هرز فرار کند.

تولید از جمله نور، آب و دما اقدام می‌نماید و در واقع با افزایش سرعت رشد خود، طول دوره رشد خود را کاهش داده تا از تنفس ناشی

جدول ۲- ضرایب مدل برآذش داده شده به وزن خشک سویا و کنجدشیطانی در شرایط تداخل

Table 2- The coefficients of the fitted model to dry matter of soybeans and Asian spider flower in interference conditions

تراکم Density	سویا Soybean					کنجدشیطانی Asian spider flower				
	$W_{\max} \pm SE$ (g/m ²)	$T_{\max} \pm SE$ (day)	K $\pm SE$	R ²	P-value	$W_{\max} \pm SE$ (g/m ²)	$T_{\max} \pm SE$ (day)	K $\pm SE$	R ²	P-value
0	780.10 \pm 43.75	58.65 \pm 2.61	0.06 \pm 0.008	0.98	0.0001	-	-	-	-	-
3	794.21 \pm 73.82	58.28 \pm 3.86	0.07 \pm 0.012	0.98	0.0001	99.62 \pm 55.20	93.01 \pm 16.64	0.06 \pm 0.01	0.98	0.0001
5	763.32 \pm 38.91	59.05 \pm 2.06	0.07 \pm 0.008	0.99	0.0001	95.65 \pm 50.05	83.60 \pm 17.78	0.06 \pm 0.01	0.96	0.0001
10	759.37 \pm 58.80	58.85 \pm 3.27	0.06 \pm 0.009	0.99	0.0001	127.22 \pm 21.83	73.31 \pm 5.60	0.07 \pm 0.01	0.98	0.0001
15	657.71 \pm 43.33	58.15 \pm 3.16	0.06 \pm 0.007	0.99	0.0001	260.79 \pm 67.51	83.55 \pm 7.88	0.07 \pm 0.01	0.99	0.0001
20	640.46 \pm 60.30	59.72 \pm 4.21	0.06 \pm 0.008	0.98	0.0001	374.67 \pm 156.96	92.28 \pm 13.55	0.05 \pm 0.009	0.99	0.0001
30	509.30 \pm 26.37	52.97 \pm 2.19	0.07 \pm 0.008	0.99	0.0001	322.53 \pm 99.22	78.41 \pm 10.99	0.06 \pm 0.01	0.97	0.0001
45	526.58 \pm 24.90	55.71 \pm 2.03	0.06 \pm 0.006	0.99	0.0001	346.85 \pm 63.44	74.62 \pm 6.87	0.06 \pm 0.01	0.98	0.0001

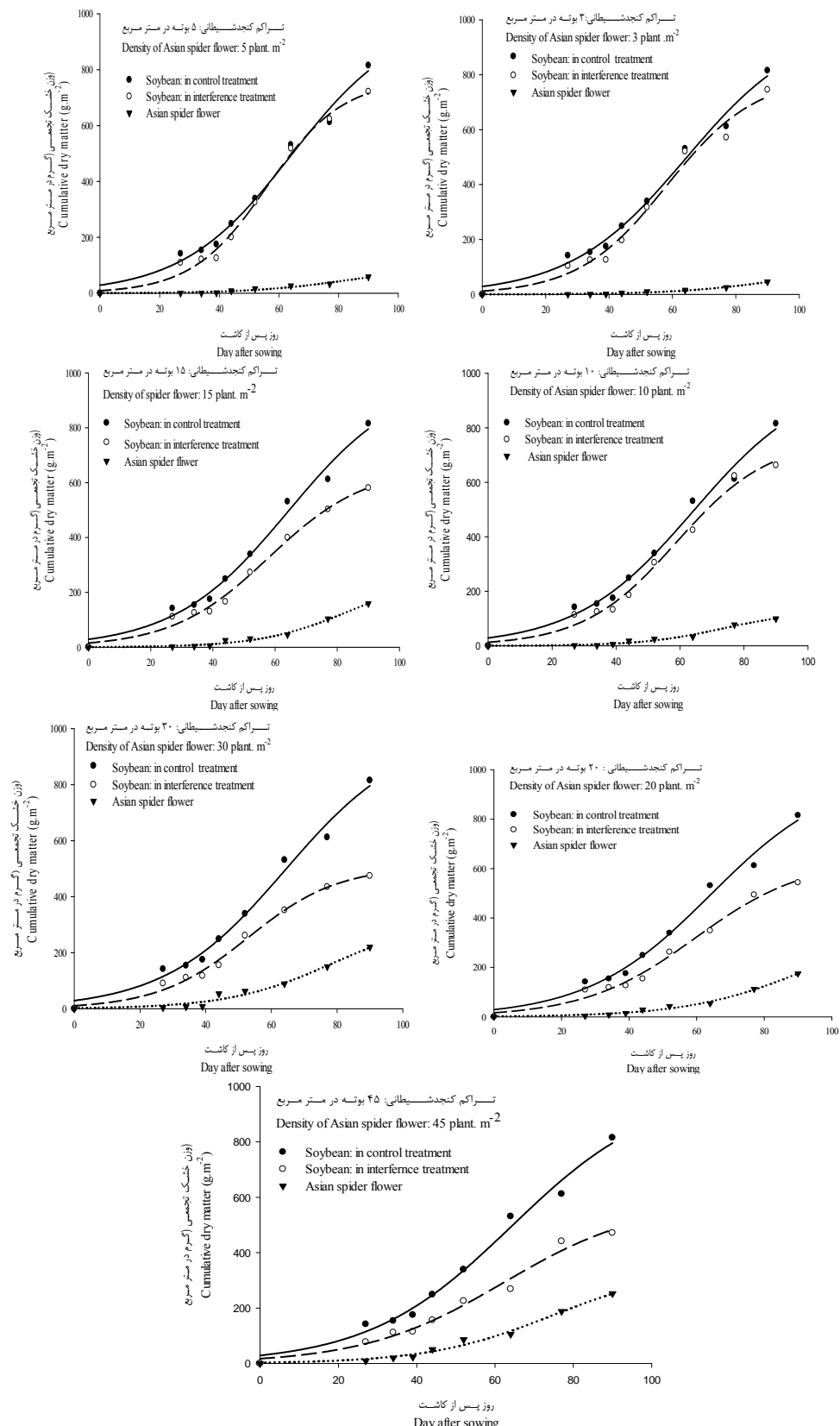
W_{max}: حداکثر تجمع ماده خشک (گرم در متر مربع) تخمینی، T_{max}: زمان لازم برای رسیدن به ۵۰٪ درصد حداکثر ماده خشک، K: پارامتر مدل

W_{max}: maximum of total dry matter (g.m⁻²), T_{max}: time required to reach 50% maximum of total dry matter, K: coefficient of equation

بین این دو برقرار کرد. بدین ترتیب که هر چه فضای اشغال شده روی زمین توسط سایه برگ‌ها بیشتر باشد؛ یعنی توزیع برگ‌ها در پیکره گیاه بهتر صورت گرفته است. همچنین سرعت بیشتر در بستن کانونپی از طریق صرف زمان کمتر در رسیدن به حداکثر شاخص سطح برگ، منجر به دریافت بیشتر نور مطلوب برای فتوستز بهینه شده و این امر منجر به افزایش عملکرد در گیاه می‌شود؛ در نتیجه تنها داشتن سطح برگ زیاد، نمی‌تواند عامل موققیت گیاه در رقبابت نور (که فاکتور مهم در امر رقبابت می‌باشد) باشد؛ بلکه زمان رسیدن به حداکثر شاخص سطح برگ در هر گیاه نیز نقش مهمی در برتری رقباتی ایفا می‌کند. در این راستا الیور (۹) اثر تاریخ کاشت سویا را بر قابلیت رقبابت آن با گاوپنبه (*Abutilon theophrasti*) مورد مطالعه قرار داد و دریافت که حداکثر شاخص سطح برگ سویا تقریباً دو برابر گاوپنبه بود اما این میزان سطح برگ در سویا در هفته دهم و در گفت نمو سریع تر این علف هرز در مقابل گیاه زراعی از جمله عوامل برتری دهنده رقباتی این گیاه در مقابل سویا می‌باشد.

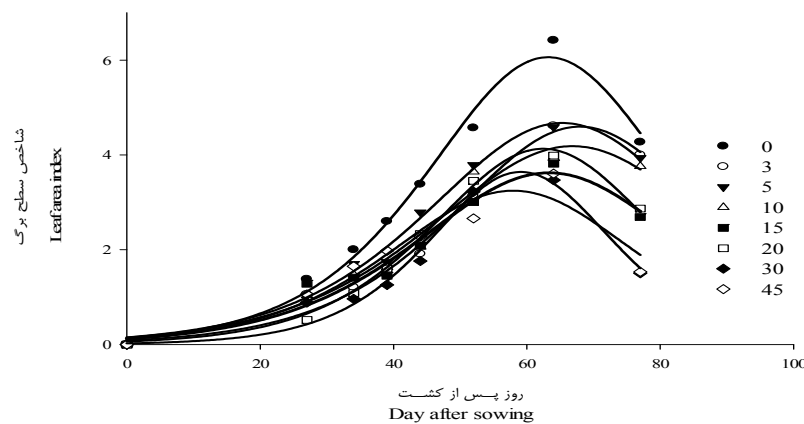
در همه تیمارها حداکثر شاخص سطح برگ کنجدشیطانی در مقایسه با سویا، بسیار کمتر بود (شکل ۴). کمترین شاخص سطح برگ این علف هرز در تراکم ۳ بوته در متر مربع برابر ۶۰٪ بود که در ۶۲ روز پس از کاشت حاصل شد. این مقدار با افزایش تراکم تغییر یافت به طوریکه در حداکثر تراکم علف هرز (۴۵ بوته در متر مربع کنجدشیطانی) برابر با ۹۶٪ بود که در ۵۳ روز بعد از کاشت حاصل شد (جدول ۲). با توجه به خروجی مدل برآذش یافته حداکثر تولید سطح برگ سویا بسته به تیمار تداخل با تراکم‌های مختلف علف هرز از ۵۸ تا ۶۸ روز پس از کاشت در نوسان بود. این در حالی بود که حداکثر سطح برگ کنجدشیطانی در روزهای ۵۳ تا ۶۴ روز حاصل شد. این نتایج نشان می‌دهد که کنجدشیطانی سریع تر از سویا به حداکثر ظرفیت فتوستزی خود دست یافته است؛ و به نظر می‌رسد دلیل افزایش قابل توجه تجمع ماده خشک این گیاه در روز ۶۰ام پس از کاشت همین عامل باشد.

با توجه به تعاریف شاخص سطح برگ (نسبت سطح برگ به زمین اشغال شده) و بسته شدن کامل کانونپی (توزیع مناسب برگ‌ها به صورت حداکثر در پیکره‌ی یک گیاه) می‌توان رابطه‌ی مستقیمی



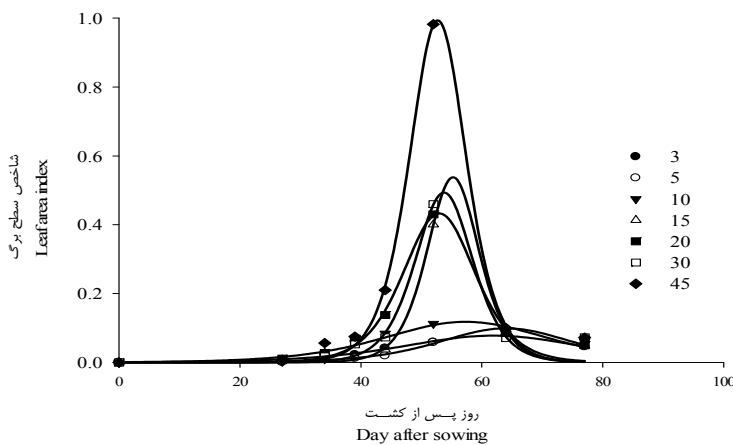
شکل ۲- وزن خشک سویا و کنجد شیطانی در تراکم‌های مختلف کنجد شیطانی در طی فصل رشد

Figure 2- Dry matter of soybean and Asian spider flower in different densities of Asian spider flower during growing season



شکل ۳- شاخص سطح برگ سویا در تراکم‌های مختلف کنجد شیطانی در طی فصل رشد.

Figure 3- Leaf area index of soybean in different densities of Asian spider flower during growing season



شکل ۴- شاخص سطح برگ کنجدشیطانی در تراکم‌های مختلف در طی فصل رشد

Figure 4- Leaf area index of Asian spider flower in different densities during growing season

جدول ۳- ضرایب مدل برآورد شده به شاخص سطح برگ سویا و کنجدشیطانی در شرایط تداخل

Table 3- The coefficients of the fitted model to LAI of soybeans and Asian spider flower in interference conditions

تراکم Density	سویا Soybean					کنجدشیطانی Asian spider flower				
	A±SE	b±SE	c±SE	LAI _{max}	R ²	A±SE	b±SE	c±SE	LAI _{max}	R ²
0	0.082±0.005	63.18±0.95	294.56±13.72	6.01	0.98	-	-	-	-	-
3	0.079±0.005	67.93±1.49	234.07±12.47	4.51	0.98	0.099±0.008	61.88±1.16	3.13±0.02	0.06	0.96
5	0.073±0.004	65.32±1.05	254.44±11.77	4.63	0.99	0.13±0.004	64.02±0.04	2.95±0.85	0.09	0.99
10	0.07±0.007	66.83±2.01	237.86±19.96	4.12	0.97	0.1±0.17	57.35±1.84	4.22±0.5	0.1	0.98
15	0.075±0.008	63.31±1.72	192.39±15.31	3.60	0.96	0.34±0.05	55.24±0.77	6.25±0.65	0.39	0.97
20	0.089±0.003	62.42±0.48	185.97±4.21	4.11	0.99	0.25±0.017	52.95±0.66	6.93±0.52	0.42	0.97
30	0.108±0.008	59.09±0.93	134.96±7.85	3.39	0.96	0.31±0.03	53.75±1.11	6.33±0.86	0.45	0.95
45	0.081±0.011	57.93±1.95	160.91±16.37	3.07	0.91	0.31±0.02	52.72±0.66	12.56±1.02	0.96	0.99

ضرایب معادله پیش‌بینی تغییرات شاخص سطح برگ، LAI_{max} : حد اکثر شاخص سطح برگ،

A; b and c: The coefficients of the prediction equation for changes in leaf area index, Maximum leaf area index

خواهد شد. همچنین ایشان گزارش کردند حساسیت بیشتر عملکرد زیست توده و دانه رقم غیررقب گندم در شرایط رقابت با هر دو گونه علف هرز چاودار و خردل وحشی را ناشی از عدم ثبات ارتفاع و ساختار نامناسب تاج پوشش دانستند و بیان داشتند که نقش توزیع عمودی سطح برگ گیاه زراعی در دریافت و تبدیل نور، عامل تعیین کننده عملکرد نهایی است.

عملکرد دانه سویا در شرایط عدم تداخل با علف هرز، ۳۷۴/۹ گرم در متر مربع بود. این مقدار با افزایش تراکم علف هرز کاهش پیدا کرد (شکل ۶). بر اساس خروجی مدل برآذش یافته به داده‌های عملکرد دانه سویا، مقدار شبیب اولیه کاهش (میزان خسارت عملکرد دانه به ازاء ورود تک بوته علف هرز کنجد شیطانی) برابر با ۸/۳۹ درصد بود. همچنین میزان حداکثر خسارت ناشی از وجود تراکم‌های بالای علف هرز کنجد شیطانی به عملکرد دانه، ۶۰/۴۲ درصد به دست آمد. گزارشات محققان نشان دهنده وجود رابطه غیرخطی بین افزایش تعداد بوته علف هرز و کاهش عملکرد دانه گیاه زراعی است (۱۳). صفاهانی و همکاران (۱۶) گزارش کردند که در شرایط تداخل با ۳۰ بوته خردل وحشی در متر مربع، عملکرد دانه ارقام رقیب کلزا تا ۵۲ درصد کاهش یافت.

در شرایط عدم تداخل سویا با علف هرز کنجد شیطانی، عملکرد بیولوژیک سویا ۷۳۴/۳ گرم در متر مربع بود. اما افزایش تراکم علف هرز عملکرد بیولوژیک سویا را به شکل غیرخطی کاهش داد (شکل ۶). به طوری که به ازاء ورود اولین بوته علف هرز عملکرد بیولوژیک سویا به میزان ۷/۹۴ درصد افت داشت. مقدار به دست آمده برای حداکثر افت تخمینی عملکرد بیولوژیک در بالاترین تراکم‌های این علف هرز برابر با ۵۴/۵۲ درصد بود که حاکی از آثار کاهشی علف هرز بر صفت مورد نظر است. مقایسه پارامترهای به دست آمده برای صفات عملکرد دانه و بیولوژیک نشان داد که تولید ماده خشک کل در مقایسه با عملکرد دانه (اقتصادی) سویا کمتر تحت تأثیر اثرات تداخلی علف هرز کنجد شیطانی قرار گرفت. صفاهانی و همکاران (۱۷) علت این امر را حساسیت بیشتر رشد زایشی گیاهان به تنش‌ها در مقایسه با رشد رویشی و کوتاه بودن طول دوره تشکیل دهنده عملکرد دانه نسبت به دوره تشکیل دهنده عملکرد بیولوژیک دانستند.

یکی از ویژگی‌های مورفولوژیک مؤثر در رقابت که به عنوان معیار مناسبی در تعیین توانایی جذب نور و مطالعه برای رقابت نور مصرفی بیان شده است، نحوه توزیع سطح برگ در لایه‌های مختلف تاج پوشش مخلوط علف هرز و گیاه زراعی می‌باشد (۶ و ۱۸).

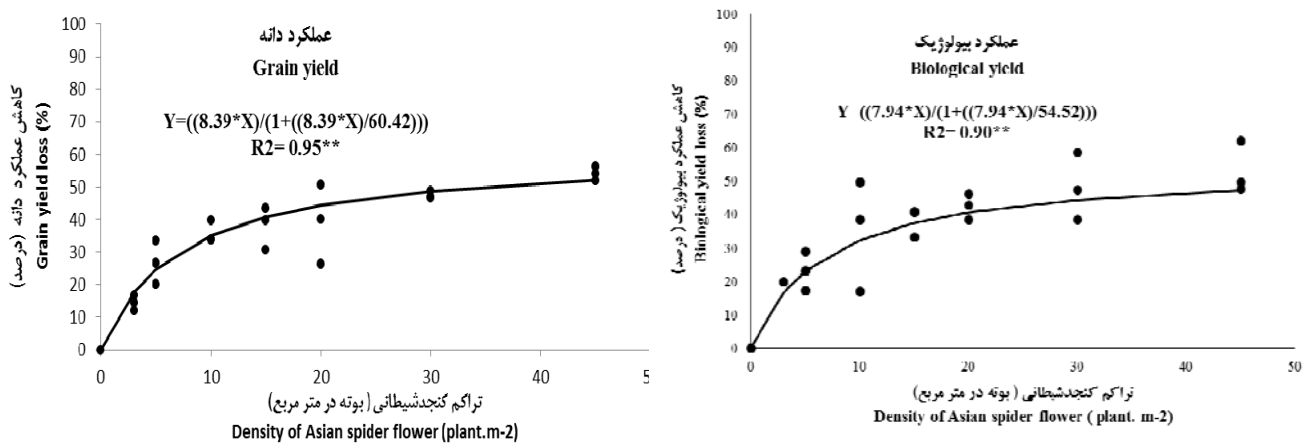
در شکل ۵ نحوه توزیع عمودی درصد شاخص سطح برگ در لایه‌های مختلف تاج پوشش سویا و کنجد شیطانی در مرحله گلدهی نشان داده شده است. علی‌رغم تفاوت قابل توجه در شاخص سطح برگ سویا و کنجد شیطانی، در تمامی تیمارهای آزمایشی، عمدۀ سطح برگ سویا در لایه پایین ۲۰ - ۰ سانتی‌متری تمرکز شده است. با افزایش تراکم علف هرز، سویا سعی در تمرکز سطح برگ خود در لایه‌های بالاتر (۲۰-۴۰ سانتی‌متری) داشته است که این امر با مقایسه اشکال مربوط به تداخل ۳ و ۴۵ بوته کاملاً مشهود است (شکل ۵).

برخلاف سویا بیشترین درصد شاخص سطح برگ کنجد شیطانی در لایه‌های ۴۰ - ۲۰ سانتی‌متری بوته قرار داشت. اگرچه درصد شاخص سطح برگ کنجد شیطانی در لایه ۶۰ سانتی‌متر پایین بود، اما در همه تیمارهای تداخلی، شاخص سطح برگ کنجد شیطانی در این ارتفاع تاج پوشش بیشتر از سویا بود. این امر حاکی از استقرار سطح برگ بیشتر کنجد شیطانی در ارتفاع بالاتر تاج پوشش در مقایسه با سویا است. در رقابت بین دو گونه گیاهی علاوه بر میزان شاخص سطح برگ، توزیع سطح برگ در نیمرخ پوشش گیاهی از اهمیت بسیار بالایی برخوردار است.

بنابراین می‌توان گفت که اگرچه سطح برگ کنجد شیطانی کمتر از سویا بود، اما به دلیل نمود سریعتر و رسیدن به حداکثر شاخص سطح در زمانی کوتاه‌تر و همچنین توزیع سطح برگ در ارتفاع بالاتر می‌تواند به عنوان رقابت نوری در مقایسه با سویا ایفای نقش نماید. سعادتیان و همکاران (۱۴) نیز در تغییرات لایه‌های تاج پوشش تراکم‌های مختلف چاودار وحشی در تداخل با گندم دریافتند که سهم لایه‌های نیمه پایینی تاج پوشش علف هرز با افزایش تراکم آن کاهش یافت. آنان رقابت نوری و به دنبال آن افزایش ارتفاع پنجه‌های علف هرز در نتیجه کاهش نور قابل در دسترس را از عوامل مهم این تغییر دانستند و بیان داشتند که رقابت نوری شدیدتر، میزان کاهش سهم لایه‌های پایینی تاج پوشش چاودار وحشی را افزایش داده و در مقابل سهم لایه‌های بالایی تاج پوشش برای دریافت مؤثرتر نور بیشتر



شکل ۵- توزیع عمودی درصد شاخص سطح برگ در لایه‌های مختلف تاج پوشش سویا و کنجد شیطانی در مرحله گلدهی در همه تیمارها.
Figure 5- Vertical leaf area index distribution in different layers canopy soybean and Asian spider flower at flowering stage in all treatments

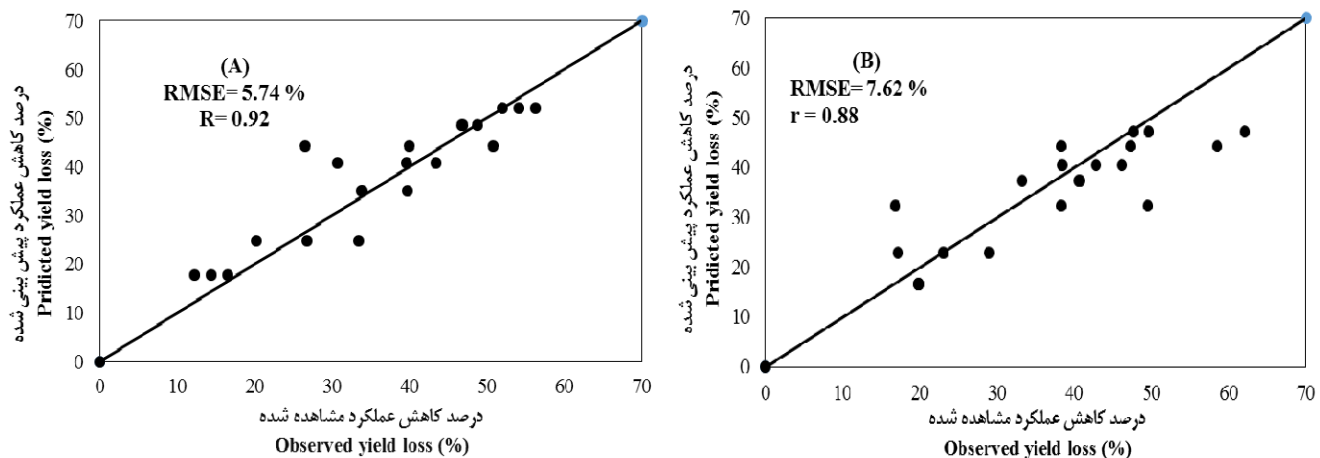


شکل ۶- روند کاهش عملکرد دانه و عملکرد بیولوژیک سویا در شرایط تداخل با تراکم‌های مختلف علف هرز کنجد شیطانی با استفاده از مدل دو پارامتری کاهش عملکرد - تراکم کوزنس

Figure 6- Trend of grain and biological yield loss of soybean (DPX cultivar) interference condition with different densities of Asian spider flower using couzens density-yield loss model

شده است. بر اساس نتایج حاضر می‌توان گفت مدل حاضر از دقت مناسبی برخوردار بوده و خروجی آنها نیز قابل استناد است.

در شکل ۷ پراکندگی نقاط پیش‌بینی شده و مشاهده شده عملکردهای دانه و بیولوژیک سویا در اطراف خط يك به یک همراه با مقادیر میانگین جذر مربعات ریشه و همبستگی بین آنها نشان داده



شکل ۷- مقادیر درصد کاهش عملکرد دانه (A) و بیولوژیک (B) مشاهده شده سویا در مقابل درصد کاهش پیش بینی شده با استفاده از مدل دو پارامتری کاهش عملکرد - تراکم کوزنس

Figure 7- Observed grain yield loss (A) and Biological yield loss (B) of soybean instead of predicted grain and biological yield loss using couzens density-yield loss model

سویا بود؛ اما ۴۵ روز پس از کاشت، شبی افزایش ارتفاع این علف هرز به میزان قابل توجهی افزایش یافت به نحوی که در ۸۰ روز بعد از کاشت ارتفاع آن بیش از سویا بود. با افزایش تراکم علف هرز، مقدار و زمان نیاز برای رسیدن به حداقل تجمع ماده خشک در سویا کاهش یافت. با توجه به مدل برآش یافته، حداقل تجمع ماده خشک

نتیجه‌گیری

مطالعه شاخص‌های رشدی سویا (رقم دی‌پی‌ایکس) در تراکم‌های مختلف علف هرز کنجد شیطانی نتایج متفاوتی نشان داد. ارتفاع سویا تحت تأثیر تداخل با تراکم‌های مختلف کنجد شیطانی قرار نگرفت. اگرچه در مراحل اولیه رشد، ارتفاع کنجد شیطانی کمتر از

بود؛ این در حالی بود که بیشترین درصد شاخص سطح برگ کنجد شیطانی در لایه‌های ۴۰-۲۰ سانتی‌متری بوته قرار داشت. که این امر نقش مؤثری در افزایش کارایی مصرف نور و در نتیجه افزایش قدرت رقابتی این علف هرز دارد. بنابراین می‌توان گفت که اگرچه سطح برگ کنجد شیطانی کمتر از سویا بود، اما به دلیل نمو سریعتر و رسیدن به حداکثر شاخص سطح در زمانی کوتاهتر و همچنین توزیع سطح برگ در ارتفاع بالاتر می‌تواند به عنوان رقیب موفق‌تری در مقایسه با سویا ایفای نقش نماید، که نتیجه آن کاهش شدید عملکرد، در حضور تراکم‌های مختلف این علف هرز است. به نحوی که میزان خسارت به عملکرد دانه و بیولوژیک سویا به ازای ورود تک بوته علف هرز کنجد شیطانی به ترتیب برابر با $8/39$ و $7/94$ درصد و حداکثر خسارت ناشی از وجود تراکم‌های بالای علف هرز به ترتیب $54/52$ و $60/42$ درصد بود.

کنجد شیطانی به طور متوسط در ۸۳ روز بعد از کاشت حاصل شد؛ این در حالی بود که حداکثر تجمع ماده خشک سویا بسته به تیمار تداخلی، بین ۵۳ تا ۶۰ روز در نوسان بود. در مورد حداکثر شاخص سطح برگ سویا نیز روند مشابهی دیده شد. به عبارت دیگر در شرایط تداخل با علف هرز علاوه بر کاهش شاخص سطح برگ، زمان رسیدن به حداکثر شاخص سطح برگ نیز کاهش یافت. مقایسه تغییرات شاخص سطح برگ کنجدشیطانی نشان داد که مقدار عددی این صفت در کنجدشیطانی به میزان قابل توجهی کمتر از سویا بود ($0/96$ در مقابل $6/41$) بود؛ اما این مقدار شاخص سطح برگ در زمان بسیار کوتاهتری حاصل شده است (۵۳ در مقابل ۶۳ روز پس از کاشت). در ضمن علی‌رغم تفاوت قابل توجه بین شاخص سطح برگ سویا و کنجد شیطانی، در تمامی تیمارهای آزمایشی، عمدۀ سطح برگ سویا در لایه‌های پایین تاج پوشش (۰-۲۰ سانتی‌متری) متوجه شده

منابع

- Blackshaw R.E. 1993. Downy brome (*Bromus tectorum*) density and relative time of emergence affects interference in winter wheat (*Triticum aestivum*). *Weed Sciences*, 41: 551-556. 37.
- Cousens R. 1985. A simple model relating yield loss to weed density. *Annals of Applied Biology*, 107(25): 239-252.
- Cousens R.D., Weaver S.E., Martin T.D., Blair A.M., and Wilson J. 1991. Dynamics of competition between wild oat (*Avena fatua L.*) and winter cereals. *Weed Research*, 37: 203-210.
- Foroughi A., Gerekhloo J., and Ghaderifar F. 2005. Evaluation of competitive ability in two sesame (*Sesamum indicum L.*) cultivars with cocklebur (*Xanthium strumarium L.*) in different crop row spacing. *Electronic Journal of Crop Protection*, 8(3):19-40. (In Persian with English abstract)
- Kropff M., and Van laar H.H. 1993. Modeling Crop-Weed Interactions. CAB international. Wallingford. UK.
- Hosseini P., Rahimian Mashhadi H., and Alizadeh H. 2011. Competition of Red Root Pigweed (*Amaranthus retroflexus*) with Two Soybean (*Glycine max*) Cultivars under Sole and Intercropping Systems Soybean Yield and Redroot Pigweed Growth Analysis *Iranian Journal of Weed Science*, 7(3):13-24. (In Persian with English abstract)
- Locke M.A., Reddy K.N., and Zablotowicz R.M. 2002. Weed management in conservation crop production systems. *Weed Biology and Management* 2: 123-132.
- Norouzi N., Niakan M., and Siahmarguee A. 2017. Study of the allelopathic effect of *Cleome viscosa* on the level of antioxidant enzymes in canola and wheat. 7th Iranian Weed Science Congress, 27-29 August. Gorgan, Iran. (In Persian with English abstract)
- Oliver L.R. 1979. Influence of soybean (*Glycine max*) planting date on velvetleaf (*Abutilon theophrasti*) competition. *Weed Sciences*, 24: 43-46.
- Rajcan I., and Swanton C.J. 2001. Understanding maize-weed competition: resource competition, light quality and the whole plant. *Field Crops Research*, 71:139-150.
- Rezvani H., Asghari J., Ehteshami S.M.R., and Kamkar B. 2013. Study the response of yield and component yield of wheat cultivars in competition with wild mustard in Gorgan. *Electronic Journal of Crop Protection*, 6(4): 187-214. (In Persian with English abstract)
- Roush M.L., and Radosevich S.R. 1985. Relationships between growth and competitiveness of four annual weeds. *Journal Applied Ecology*, 22: 895-905.
- Saadatian B., Ahmadvand G., and Soleimani F. 2011. The study of canopy structure and growth characteristics of two variety of wheat in competition condition on economic damage threshold and yield of rye (*Secale cereale L.*) and wild mustard (*Sinapis arvensis L.*). *Iranian Journal of Field Crops Research*, 9(3): 494-504. (In Persian with English abstract)
- Saadatian B., Kafi M., Soleimani F., and Ahmadwand G. 2013. Evaluating empirical models to predict yield loss of winter wheat (*Triticum aestivum L.*) cultivars in interference with feral rye (*Secale cereale*) *Cereal Research*, 3(1): 69-82. (In Persian with English abstract)
- Saadatian B., Kafi M., and Soleimani F. 2014. Evaluation of canopy characteristic role on tolerance index of wheat

- cultivars in interference with feral rye (*Secale cereale*). Journal of Plant Production Research, 21(19): 10- 24. (In Persian with English abstract)
- 16. Safahani Langerodi A.R., Ayenehband A., Zand E., Nourmohammadi Gh., Baghestani Meybodi M.A., and Kamkar B. 2008. Evaluation of Competitive Power of Different Varieties of Canola (*Brasica napus*) with wild mustard (*Sinapis arvensis*) and its relationship with the extent and distribution of leaf area in the canopy. Journal of Agricultural Sciences and Natural Resources, 15(2): 68-98. (In Persian with English abstract)
 - 17. Safahani A., Kamkar B., Zand E., Bagherani N., and Bagheri M. 2008. The effect of growth indices in competitive ability of some canola (*Brasica napus*) cultivars against wild mustard (*Sinapis arvensis*). Iranian Journal of Field Crops Research, 9 (4): 356-370. (In Persian with English abstract)
 - 18. Samaey M., Akbary G.R., and Zand E. 2006. The Study of density and competition of Red root Pigweed (*Amaranthus retroflexus*) on morphological characteristics, Yield and Yield Components of Soybean (*Glycine max*) Cultivars. Agricultural Sciences, 12(1): 41-55.(In Persian with English abstract)
 - 19. Shirdel M., Siahmarguee A., and Yones Abadi, M. 2016. Effect of temperature and water potential on seed germination of Asian spider flower (*Cleome viscosa* L.): an invasive weed in Golestan province. Journal of Plant Protection, 30(2): 292-303.
 - 20. Yadavi A.R., Agha Alikhani M., Ghalavand A., and Zand E. 2006. Effect of plant density and planting arrangement on grain yield and growth indices of corn under redroot pigweed (*Amaranthus retroflexus* L.) competition. Agricultural Research Water, Soil and Plant in Agriculture, 6(3): 31-46. (In Persian with English abstract)
 - 21. Zand E., Rahimian Mashhadi H., Koochaci A., Kharaghani J., Mosavi K., and Ramezani K. 2004. Weed Ecology (Management applications). Jahad Daneshgahi of Mashhad Press, 558p. (In Persian with English abstract)



Study of Soybean Competitive Ability under Interference Conditions with Different Densities of Asian Spider Flower (*Cleome viscosa L.*): Invasive Weed in Golestan Province

D. Emami-Kangar¹- A. Siahmarguee^{2*} - B. Kamkar³- M. Basiri⁴

Received: 09-12-2017

Accepted: 12-09-2018

Introduction: Competition with weeds is the most important factor that reduces agricultural crop yield worldwide. The magnitude of yield loss is affected by numerous agronomic and environmental factors, such as weed density, time of emergence, morphological characteristics of weed and crops and etc. Several studies have shown that the crop and weed growth parameters including height, total dry matter, leaf area index and its distribution in the canopy are major determinants of the capability of species competition under interference conditions. Asian spider flower (*Cleome viscosa L.*) is a summer annual weed of the Capparidaceae family. Currently, very high densities of this weed grow in the fields of eastern Golestan province. There is no report on the extent of damaging of this weed in this province. So, current study was conducted to achieve these goals: 1) Investigate the effect of different densities of Asian spider flower on growth characteristics of soybean. 2) Determine the soybean yield loss due to competition with different densities of this weed species.

Materials and Methods: In order to investigate the soybean competitive ability (cultivar D P X) under interference condition with different densities of Asian spider flower (0, 3, 5, 10, 15, 20, 30, 45 plant m⁻²); an experiment was established based on randomized complete blocks design with three replications in Gorgan University of Agricultural Sciences and Natural Resources in 2015–2016 growing season. Sampling was done 25 days after planting in eight stages. In each sampling, leaf area, dry weight of soybean and Asian spider flower plants were measured. Vertical distribution of leaf area in canopy profiles of soybean and Asian spider flower was studied, too. For this purpose, plants were divided into segments in 20- cm interval and leaf area of each layer was measured separately. A two parameter rectangular hyperbolic function (Equation 1) used for estimating grain and biological crop yield loss. Finally the accuracy of the model was confirmed based on RMSE, r and the dispersion of the observed and predicted grain and biological yield loss of soybean around the one to one line.

$$Y_L = \frac{ID}{1 + ID/A}$$

Equation (1)

Where Y_L is percent yield loss, D is weed density (plants m⁻²), and I and A, are model parameters. Parameter I is the percent yield loss per unit weed as $D \rightarrow 0$, and A is the asymptotic yield loss as $D \rightarrow \infty$.

Results and Discussion: The results showed that soybean height was not affected by interference with different densities of Asian spider flower. But maximum accumulation of dry matter of soybean and leaf area index were reduced under competition conditions. According to the fitted model, the maximum accumulation of the dry matter of Asian spider flower was obtained at 83 days after planting, while the maximum soybean dry matter accumulation, depending on the interference treatment, varied between 53 and 60 days after planting. The maximum leaf area index of soybean (in weed free treatment) and Asian spider flower were 6.41 and 0.96, and were obtained at 63 and 53 days after planting, respectively. Although Leaf area index of Asian spider flower was lower than soybean, but maximum percentage of leaf area of Asian spider flower was located at higher canopy layers than soybean (20-40 compare to 0-20 cm). The results showed that the maximum soybean grain and biological yield loss due to high densities of Asian spider flower were 60.42% and 54.52%, respectively. Also, soybean grain and biological yield reduction were 8.39 and 7.94, respectively, in case the first weed. Based on the results of this study (RMSE, r and correlation between observed and predicted grain and biological yield loss), it can be concluded that the present model has a good accuracy and its outputs can be cited. In general it can be said the competition effect of Asian spider flower on soybean biological yield was lower than grain yield.

Discussion: Overall our results showed that Asian spider flower weed could be considered as a strong competitor to soybean. According to the results, it seems that some characteristics of Asian spider flower including 1) representing greater height at the end of the growing season, 2) requiring a shorter time to reach maximum leaf area index and 3) arranging a greater part of plant leaf area at higher canopy layers compared to soybean, were the most important factors to increasing the competitive ability of this weed.

Keywords: Competition, Cousens model, Grain yield loss, Leaf area distribution, Morphological characteristics

1, 2 and 3- Former M.Sc. Student of Weed Science, Assistant Professor and Professor, Department of Agronomy, Faculty of Crop Protection, Gorgan University of Agricultural Sciences and Natural Resources, Gorgan, Iran, respectively

(*- Corresponding Author Email: siahmarguee@gau.ac.ir)

4- Ph.D. Gradated Student of Agronomy, Zabol University, Zabol, Iran